

сфодиэстеразы отражается следствием воздействия на органы и ткани, что лейкоцитах крови. Регуляции гомеостаза получены нами ранее [2].

#### лейкоцитах больных синдромами

активность фосфодиэстеразы в пикомолях на мг белка в мин

$1,23 \pm 0,07$
$p > 0,1$
$1,27 \pm 0,07$
$p > 0,1$
$1,2 \pm 0,05$
$p > 0,1$
$1,1 \pm 0,09$

ментом под воздействием этого косвенно судить об изменениях функциональной

достоверных изменений вибровидимых лиц позволяют считать гипоталамических синдром

ативно-сосудистыми синдромами наблюдается тенденция к действию стимуляторов синдромами не отличается. Желательно считать, что изменились гипоталамических синдромы

«Медицина», 1976, 175 с.  
и вегетативная первая система гипоталамических нейрогормонов. «Думка», 1978, 216 с.  
Клеток, М., «Медицина», 1976.  
*Takishima T.* Leukocyte cyclic bronchial asthma.—Annals of

Поступила в редакцию  
Киев, 1.VI 1978 г.

Однако хроническое воздействие на организм отрицательно влияет на активность фосфодиэстеразы в лейкоцитах и макрофагах. Согласно нашим данным, уменьшение активности фосфодиэстеразы в лейкоцитах и макрофагах при хроническом воздействии на организм отрицательно влияет на активность фосфодиэстеразы в лейкоцитах и макрофагах. Установлено, что активность фосфодиэстеразы в лейкоцитах и макрофагах при хроническом воздействии на организм отрицательно влияет на активность фосфодиэстеразы в лейкоцитах и макрофагах.

УДК 534.88:591.185.5:599.53

В. А. Козак

#### О ПУЗЫРЬКОВЫХ ЭЛЕМЕНТАХ

#### ФРОНТАЛЬНОГО ВОЗДУШНОГО МЕШКА КАШАЛОТА

Сложная система воздушных мешков и спермацетовых образований кашалота (возникших в процессе эволюции после возвращения к водному образу жизни предков этого животного) принимает непосредственное участие в осуществлении процесса локации во время поиска и лова глубоководных кальмаров в условиях полной темноты больших глубин [5—7]. Согласно нашим представлениям, эта система расположена на роструме черепа и состоит из структурно и функционально направленных образований: а) окружного участка передне-верхней части головы животного, служащего входом, а в период звуковой активности выходом акустической системы (это образование в силу своей обтекаемой формы уменьшает звуковые помехи, связанные с передвижением в водной среде); б) компоненты, расположенной в передней части спермацетового конуса, напоминающей акустическую линзу; в) спермацетового конуса, выполняющего роль звукопровода; г) проксимального конца спермацетового конуса — «экрана», соприкасающегося с пузырьковыми элементами; д) поля с пузырьковыми элементами и нервно-рецепторными образованиями; е) нервных окончаний, отходящих от рецепторов спермацетового конуса и формирующих ветви верхне-челюстного нерва; ж) звукогенерирующего аппарата; з) опорного аппарата с активным поглощением звуковой энергии.

Принимая во внимание результаты исследований различных авторов [5—7, 10, 14, 17 и др.], можно полагать, что данный комплекс образований, объединенный в единую систему, является акустическим. Проводимые в настоящее время дискуссии и обсуждения сводятся, в основном, к определению, к какой части относится этот комплекс образований — звукогенерирующей или рецепторной, или он объединяет обе функции. Так, Норрис и Гарвей [14] считают, что спермацетовые образования и воздушные мешки относятся к системе, генерирующей звуковые сигналы. К этой точке зрения присоединяется Морозов [10]. Вуд [19] высказывает мнение, что представляется возможным считать этот орган звукогенерирующим, а «громадный» спермацетовый орган кашалота вполне может выполнять роль акустической линзы, наполненной жидким маслом». В то же время Вуд определяет акустическую систему кашалота как исключительно сложную и считает, что гидролокационные возможности кашалота на несколько порядков выше, чем у остальных китообразных.

Жироподобное образование, имеющее четкую геометрическую форму и расположенное в области рострума, в той или иной степени свойственно всем китообразным, относящимся к подотряду зубатых. Вполне вероятно, что эти образования и система воздушных мешков кашалота являются наиболее развитым вариантом аппарата, присущего подотряду. Однако система этих образований у кашалота развита настолько

сложнее, что можно говорить не только о структурных отличиях, но и о качественном отличии их функций. Поэтому полная аналогизация спермацетового органа семейства кашалотовых и мелона семейства дельфиновых, по-видимому, неправильна.

Равен и Грэгори [16], Шенкан и Пурвес [17] показали, что у когиа имеется два отдельных образования — мелон и спермацетовый орган. В частности, последние два автора считают, что мелон, принимая во внимание его развитие, соответствует нижней спермацетовой подушке (клину), а верхний спермацетовый мешок (конус) является отдельным органом с другими функциями.

Если спермацетовые образования и прилегающие к ним воздушные мешки описаны различными авторами [2, 7, 11, 16, 17], то, по-сущи, феноменологическое упоминание наличия пузырьковых образований нельзя считать исчерпывающим описанием данных структур. Неясным также остается функциональное значение пузырькового поля.

Норрис и Гарвей [14] считают, что задний (фронтальный) воздушный мешок является зеркалом для акустических волн, а пузырьковые образования помогают осуществлять отражение звука в любом положении тела животного в процессе глубоководных погружений. Однако эти авторы за основу своих рассуждений приняли неправильно определенную скорость звука в спермацете, которая, по приводимым ими данным, соответствует  $2669 \text{ м/с}$ . Многократное определение скорости звука в спермацете, проделанное в нашей лаборатории, а также данные, полученные в других трех лабораториях, соответствует при температуре  $37^\circ \text{ С}$   $1350 \pm 14 \text{ м/с}$ . Бергман [1] приводит цифры скорости звука в спермацете («спермацетовое масло»), соответствующие  $1210 \text{ м/с}$ . Поэтому основная концепция Норриса и Гарвея о функции спермацетового органа, как реверберационной камеры неверна. Эти авторы, однако, допускали возможность того, что пузырьки должны фильтровать или пропускать поступающие звуки в соответствии с диаметром пузырька и частотой поступающего сигнала.

Принимая во внимание недостаточность сведений о структуре пузырьковых элементов, а также неясность их функционального значения, мы изучали морфологические особенности данного аппарата, что может способствовать выяснению его функции.

### Методика исследований

Изучали внешний вид, форму и структуру пузырьковой полости, которую определяли заливкой внутренней полости латексом, разогретой эпоксидной смолой с отвердителем, заливкой металлическими сплавами типа сплава Вуда и др. Проводили анализ особенностей внутренней структуры пузырьков с помощью введения в их полость рентгеноконтрастной массы (урографин — 60%) с последующей рентгенографией и воссозданием модели полости согласно полученным под различными углами снимкам. Этот метод позволял получить наименьшую деформацию полости. После заполнения полости отвердевающими материалами проводили коррозию тканей в соляной кислоте для их удаления и получения внутренних слепков пузырьковых элементов и их комплексов.

Кроме макроскопических исследований было проведено изучение микроскопических особенностей структуры ряда участков пузырьковых образований. Применили парафиновую заливку, с последующей окраской срезов гематоксилином-эозином, по ван-Гизону. Серебрение проводили по методу Бильшовского-Гросса. В некоторых случаях проводили тотальное серебрение небольших кусочков после пиридина. Для более детального изучения элементов строения пузырьков проводили электронномикроскопическое исследование. Для этого, после обработки глутаральдегидом на буфере Серенсена и фиксации в осмии производили заливку кусочков в эпон. Исследование проведено на электронном микроскопе Джема-7.

Помимо морфологических исследований пузырьковых элементов, определяли удельный вес жидкости, наполняющей полость пузырьков. Проведены некоторые биохимические исследования содержимого пузырьков — определено на пламенном фот-

метре содержание ионо-содержание белка и его ном геле.

Общее количественное содержание пузырькового элемента — приведено в табл. 1. Серии соответствуют

Рис. 1. Различные формы полости пузырьковых элементов.

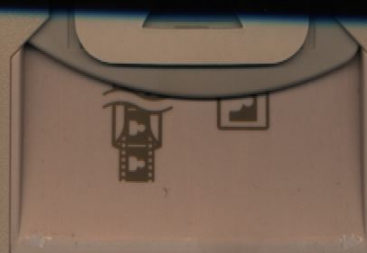
*a* — заливка полости латексом;  
*b* — коррозионный заливка полости латексом;  
*c* — заливка полости латексом;  
*d* — рентгенограмма пузырькового элемента послесвечения его полости урогенитального проекции, отличающихся том на  $45^\circ$ .

табл. 1, закономерности пузырьковых элементов не более мелкие элементы поверхностью, вары

В результате анализа полости, обнаруженной верхностью поля, се под поверхностью и находящийся ближе называли основным. Разными расширениями конца (рис. 1). Наиболее конец цепочки пузырькового поля кашалота слепков внутренних основных пузырьков

Комплекс пузырьковым элементом элементу, часто (рис. 1, б).

При изучении пузырьковых элементов был Поверхность пузырьков, покрыта много для внешних покровов



турных отличиях, но и о ная аналогизация сперлона семейства дельфи-

] показали, что у когиа спермацетовый орган. то мелон, принимая во спермацетовой подушке (с) является отдельным

ющие к ним воздушные [16, 17], то, по-сущи, февых образований нельзя уктур. Неясным также поля. (фронтальный) воздушных волн, а пузырьковые звуки в любом положении гружений. Однако эти неправильно определены видимым ими данным, е скорости звука в сперме данные, полученные при температуре  $37^{\circ}\text{C}$  еости звука в спермацете  $m/s$ . Поэтому основная ацетового органа, как однако, допускали воззять или пропускать по- пузырька и частотой по-

едений о структуре пункционального значения, го аппарата, что может

ой полости, которую определяют смолой с отвердителем и др. Проводили анализ введения в их полость рентгенографией и воссозданными углами снимкам. Этот . После заполнения полости в соляной кислоте для их элементов и их комплексов,ено изучение микроскопических образований. Применили матоксилин-эозином, по валлеру. В некоторых случаях не пиридина. Для более детального электронномикроскопического изучения на буфере Серенсена Исследование проведено на

ых элементов, определяли Проведены некоторые био-слено на пламенном фото-

метре содержание ионов натрия, калия и в некоторых случаях кальция, определено содержание белка и его фракционного состава методом электрофореза в поликарбонатном геле.

### Результаты исследований

Общее количество пузырьковых элементов на задней стенке фронтального мешка — пузырьковом поле — подсчитанное у 11 кашалотов приведено в табл. 1. Среднее количество пузырьков у животных этой серии соответствует  $2730 \pm 708$ . Как следует из данных, приведенных в

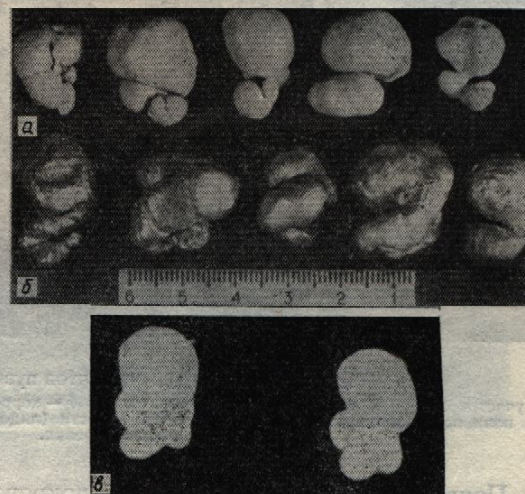


Рис. 1. Различные формы внутренней полости пузырьковых элементов.

*a* — заливка полости латексом (квадратикс) — коррозионный препарат, *b* — заливка полости легкоплавким металлическим сплавом, типа сплава Вуда, *c* — рентгенограмма пузырькового элемента после заполнения его полости урографином. Пузырьковый элемент снят в двух проекциях, отличающихся поворотом на  $45^{\circ}$ .

табл. 1, закономерности между массой животного и количеством пузырьковых элементов не отмечено. Однако у молодых животных отмечаются более мелкие элементы. Обычно размеры пузырьков, выступающих над поверхностью, варьируют от нескольких до 30 мм.

В результате анализа данных, полученных после заливки внутренней полости, обнаружено, что каждый пузырек, выступающий над поверхностью поля, связан общей полостью с пузырьками, находящимися под поверхностью пузырькового поля. Как правило, один из пузырьков, находящийся ближе к поверхности поля, наиболее крупный — мы его назвали основным. От него ближе к лобной кости идет канал с четкообразными расширениями, более мелкими, чем диаметр основного пузырька (рис. 1). Наиболее мелкие пузырьки располагаются чаще всего в конце цепочки пузырьков. На рис. 2, *a* представлен фрагмент пузырькового поля кашалота самца (длина 12,9 вес 31 т); на рис. 2, *b* — комплекс слепков внутренних полостей пузырьков соседнего участка со стороны основных пузырьков и на рис. 2, *c* — со стороны гребня лобной кости.

Комплекс пузырьков, связанных общей полостью, мы назвали пузырьковым элементом. Пузырьки, относящиеся к одному пузырьковому элементу, часто располагаются завитком, напоминающим улитку (рис. 1, *b*).

При изучении микроскопических особенностей строения пузырьковых элементов был обнаружен ряд характерных деталей их структуры. Поверхность пузырьков, обращенная к задней стенке спермацетового конуса, покрыта многослойным ороговевающим эпителием, характерным для внешних покровов (рис. 3, *a*). На препаратах можно видеть все слои

кожного эпителия. Покровный эпителий часто пигментирован, что придает полю неравномерную пятнистую окраску.

На границе эпителиального слоя и подлежащей ткани хорошо выражены сосочковые образования, в которых со стороны прилежащей соединительной ткани просматривается капиллярная петля.

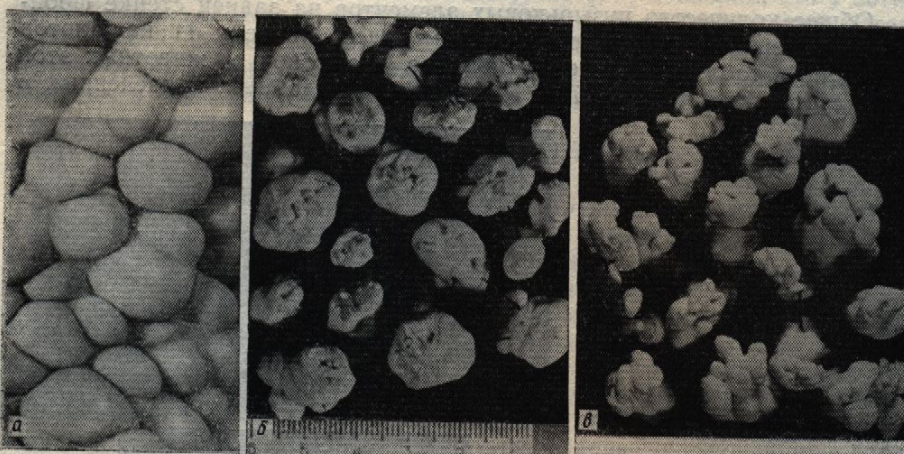


Рис. 2. Расположение элементов пузырькового поля.

*a* — участок пузырькового поля (естественный вид), *б* — коррозионный препарат участка пузырькового поля после заливки латексом внутренней полости (лицевая сторона), *в* — то же — со стороны лобного гребня.

Покровный эпителий внешних покровов китообразных довольно подробно описан Соколовым [12]. Существенных отличий от описаний, сделанных этим автором, мы не обнаружили, хотя данный эпителий относится к эпителию, выстилающему поверхность пузырька.

Следующий слой представлен коллагеновыми волокнами (рис. 3, б). На препарате видна складчатость волокон (по-видимому, в естественных условиях, когда пузырьковые элементы наполнены жидкостью под давлением, волокна находятся в расправленном состоянии, ограничивая

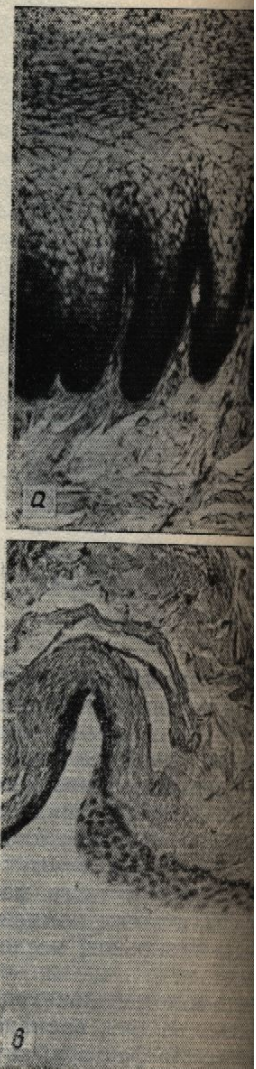
Таблица 1  
Количество пузырьковых элементов у кашалотов

№ животного	Длина, в м	Вес, в г	Количество пузырьковых элементов на пузырьковое поле
1	16,1	58	2350
2	15,8	53	3902
3	15,2	48	1774
4	15,1	50	3518
5	14,7	42	3124
6	—	—	1734
7	15,4	50	2432
8	13,4	34	3722
9	15,2	48	2384
10	16,4	64	2380
11	13,8	—	2706
$\bar{x}=15,1 \pm 0,9$		$\bar{x}=49 \pm 8,6$	$\bar{x}=2730 \pm 708$

#### О пузырьковых элементах

растяжение полости). Конечно, значительно.

Структура средней части, их расположение — напоминает роговицы, т. е. оболочки,

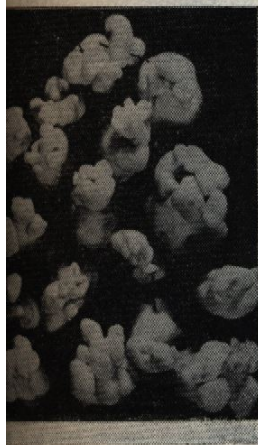


заполненную жидким соком. Об этом, в частности, свидетельствуют волокна по нескольким причинам: волокна очень прочны и плохо проникают в структурах пузырька [14].

Третий, внутренний слой — эпителиальный. Однако он

## О пузырьковых элементах

ментирован, что при-  
ей ткани хорошо выра-  
ны прилежащей соеди-  
тля.



вого поля.  
ый препарат участка пузырько-  
вого элемента (а), в — то же — со стороны

иообразных довольно  
отличий от описаний,  
я данный эпителий от-  
пузырька.  
волосками (рис. 3, б).  
димому, в естественных  
ы жидкостью под дав-  
остоянии, ограничивая

Таблица 1  
шалотов

Число пузырьковых  
элементов на пузырьковом  
поле

	ЭПИТЕЛИЙ
2350	одиничный
3902	одиничный
1774	одиничный
3518	одиничный
3124	одиничный
1734	одиничный
2432	одиничный
3722	одиничный
2384	одиничный
2380	одиничный
2706	одиничный

$\bar{x}=2730 \pm 708$

растяжение полости). Количество клеточных элементов в этом слое не-  
значительно.

Структура средней оболочки пузырька — коллагеновые волокна и  
их расположение — напоминает структуру оболочек глаза — склеры и  
роговицы, т. е. оболочек, также ограничивающих изолированную камеру,

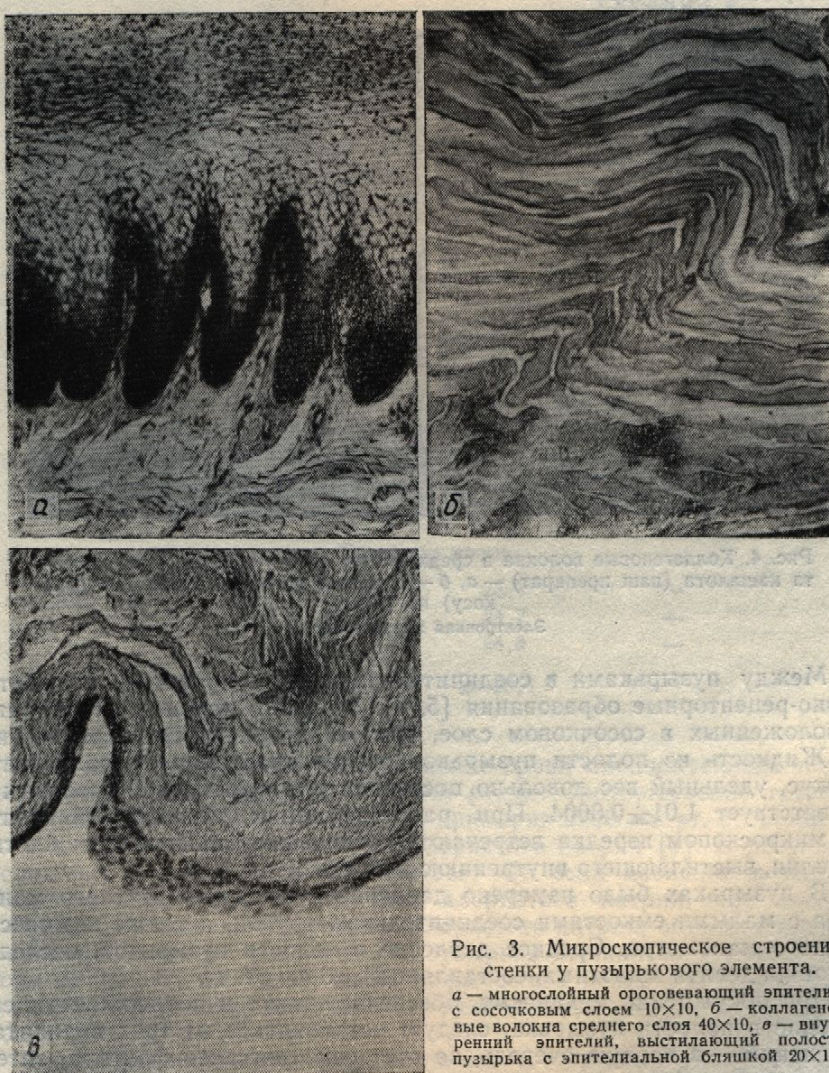


Рис. 3. Микроскопическое строение  
стенки у пузырькового элемента.

а — многослойный ороговевающий эпителий  
с сосочковым слоем 10×10, б — коллагено-  
вые волокна среднего слоя 40×10, в — внут-  
ренний эпителий, выстилающий полость

заполненную жидким содержимым с ограничением степени растяжения.  
Об этом, в частности, свидетельствует расположение слоев коллагено-  
вых волокон по нескольким осям (рис. 4). Как известно, этот тип воло-  
кон очень прочен и плохо поддается растяжению. Наличие коллагеновых  
волокон в структурах пузырька было также отмечено Норрисом и Гар-  
веем [14].

Третий, внутренний слой стенки пузырька, так же, как и первый,  
эпителиальный. Однако он характеризуется тонким слоем более или

менее однородных клеток, отсутствием сосочкового слоя и наличием в ряде мест эпителиальных утолщений — эпителиальных бляшек (рис. 3, в). При изучении срезов в электронном микроскопе в первом эпителиальном слое обнаружено большое количество десмозом. Это характерно для переднего отдела пищеварительного тракта, в частности, для эпителия ротовой полости.



Рис. 4. Коллагеновые волокна в среднем слое стенки пузырькового элемента кашалота (наш препарат) — а, б — препарат роговицы глаза (по Джакосу) по [3].

Электронная микроскопия.

Между пузырьками в соединительной тканевой прослойке находятся нервно-рецепторные образования [5, 6]. Вопрос о нервных окончаниях, расположенных в сосочковом слое, требует дальнейших исследований.

Жидкость из полости пузырьков слегка опалесцирует, солоновата на вкус, удельный вес довольно постоянен для различных животных и соответствует  $1,01 \pm 0,0004$ . При рассматривании образцов жидкости под микроскопом изредка встречаются отдельные отслоившиеся клетки эпителия, выстилающего внутреннюю полость.

В пузырьках было измерено давление с помощью ртутного манометра с малыми емкостями соединительных трубок, а также компенсационного манометра. Среднее давление в полости пузырьков, исследованное на девяти животных, составляет  $24 \pm 6$  мм рт. ст.

При обсуждении механизма, обеспечивающего и поддерживающего давление в полости пузырька, следует остановиться на трех вариантах объяснений — в первую очередь, за счет осмотического фактора, затем онкотического, кроме того, давление в полости пузырька может быть результатом секреторной деятельности эпителиальных элементов, выстилающих внутреннюю полость.

Было определено содержание натрия, калия и, в ряде случаев, кальция в жидкости пузырьков, а также в сыворотке крови (табл. 2). Как следует из приведенных данных, содержание катионов в жидкости и сыворотке крови практически одинаково \*. Необходимо отметить, что со-

\* Если допустить возможность статистической обработки при столь малой выборке, то  $p > 0,5$ .

## О пузырьковых элементах

держание исследуемых вообще различается несущественным, количество натрия  $22 \text{ мг\%}$ .

## Содержание

№пп

1

2

3

4

5

6

7

8

9

10

1

2

3

Как известно, осмотическое давление 7,5—8,0 атм, или 510 мм рт. ст., в тканях. Около ского давления относится несложных расчетов может быть обеспечивается пузырьком 5—10 мл, то соде давление в 24 мм рт. ст., в крови на 0,2—0,5 мг. Така ном случае, вероятно, вы система.

Если содержание указывает на их содержанию в сыворотке крови при анализе содержания и кости и сыворотки.

При анализе белковых (1,010) и сыворотки крови две методики аналитической стеме [15] при pH 2,7, а та дартом служила рибонук Reanal — молекулярный в 21000—23000 из ядер кости.

вого слоя и наличием в тных бляшках (рис. 3, а). скопе в первом эпителиесмозом. Это характерно а, в частности, для эпи-



и пузырькового элемента глаза (по Дж.-

ой прослойке находятся о нервных окончаниях, пнейших исследований. налесцирует, солоновата различных животных и и образцов жидкости не отслоившиеся клетки

омощью ртутного манометра, а также компенсации пузырьков, исследо-

р. ст. его и поддерживающего ть на трех вариантах ческого фактора, затем пузырька может быть ре- бных элементов, высти

и, в ряде случаев, каль- ке крови (табл. 2). Как ионов в жидкости и съ-

ботки при столе малой вы-

### О пузырьковых элементах

держание исследуемых катионов в сыворотке крови млекопитающих вообще различается несущественно. У человека, например, по различным данным, количество натрия в сыворотке — 300—360 мг%, калия — 14—22 мг%.

Таблица 2

Содержание катионов в мг% в жидкости пузырьков и сыворотке крови кашалотов

№ пп	Na	K	Ca
Жидкость пузырьков			
1	325	30,5	2,1
2	345	30,2	2,3
3	270	21,9	1,8
4	315	25,2	1,8
5	372	27,6	—
6	355	17,4	—
7	336	19,7	—
8	264	—	—
9	351	23,7	—
10	424	30,6	—
$\bar{x}=336 \pm 42$		$\bar{x}=25,2 \pm 4,9$	

Сыворотка крови

1	316	28,7	—
2	379	24,7	—
3	330	24,9	—

$$\bar{x}=341 \quad \bar{x}=26,1$$

Как известно, осмотическое давление крови млекопитающих составляет 7,5—8,0 атм, или 5100—6080 мм рт. ст. Соответственно такое же давление в тканях. Около 60%, т. е. примерно 3500 мм рт. ст. осмотического давления относится за счет хлористого натрия [9]. В результате несложных расчетов можно убедиться, что если давление в полости пузырьков обеспечивается за счет хлористого натрия, при емкости пузырька 5—10 мл, то содержание хлористого натрия, обусловливающее давление в 24 мм рт. ст., в полости пузырька должно быть выше, чем в крови на 0,2—0,5 мг. Такая точность регуляции ионного состава, в данном случае, вероятно, выходит за рамки возможностей регуляторных систем.

Если содержание указанных катионов в жидкости пузырька соответствует их содержанию в сыворотке крови, то иная картина возникает при анализе содержания и сравнительной характеристики белков жидкости и сыворотки.

При анализе белковых компонентов жидкости пузырька (уд. вес 1,010) и сыворотки крови кашалота (уд. вес 1,023—1,028) применяли две методики аналитического электрофореза — разделения в кислой системе [15] при pH 2,7, а также в щелочной среде [8] при pH 8,3. Стандартом служила рибонуклеаза из поджелудочной железы (фирмы *Reanal*) — молекулярный вес 12400 и гистон Н-1 — молекулярный вес 21000—23000 из ядер костного мозга.

Концентрация белка в жидкости пузырька составляла 0,5—0,6 мг/мл (50—60 мг%). Молекулярный вес, согласно определению по электрофоретической подвижности в системе с додецилсульфатом натрия — 40 000—60 000. При применении обеих методик электрофореза белки разделялись на три фракции и по электрофоретической подвижности соответствовали высокоподвижным белкам сыворотки крови (альбуминам и преальбуминам).

Опалесценция жидкости устранилась при смешивании ее с жирорастворителями — ацетоном или эфиром, которые применялись в соотношении 1 : 5 по объему, чтобы не вызывать денатурации белка. Просветление отмечалось в водной фазе раствора. На основании этих опытов можно допустить, что белковый компонент связан с липидной фракцией и представляет липопротеиновый комплекс.

При исследовании белкового состава сыворотки крови кашалота

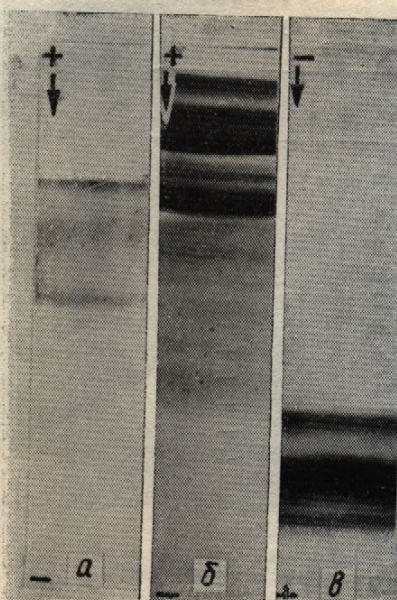


Рис. 5. Электрофоретическое разделение белков жидкости из полости пузырьков — *a*, *b*; сыворотки крови кашалота — *б*.

*a*, *b* — разделение в системе 15% полиамидном геле при pH 2.7; *c* — разделение в системе 7,4% полиамидном геле при pH 8.3.

обнаружено 60 мг/мл белка (6000 мг%), из них на долю альбумина приходится 20 мг/мл. На электрофорограммах белков сыворотки крови в кислой системе геля обнаружено две группы полос. Группа, находящаяся на катодном участке электрофорограммы, содержит пять компонентов, обладающих относительно высокой подвижностью в полиакриламидном геле, а группа, находящаяся ближе к анодному участку фореграммы, содержит пять компонентов со значительно меньшей электрофоретической подвижностью. Основная часть белка приходится на группу малоподвижных компонентов с высоким молекулярным весом. Содержание близких по подвижности фракций (альбуминов и преальбуминов) жидкости пузырьков и сыворотки крови относятся как 50 к 2000. Следовательно, в жидкости пузырьков слишком мало соответствующих фракций, чтобы обеспечить осмотический или онкотический градиент, который мог бы обусловить давление в полости пузырька на уровне выше давления в крови и тканях.

Таким образом, напрашивается вывод, что давление в полости пузырьков, по всей вероятности, является результатом активной секреции жидкости эпителиальными элементами, выстилающими внутреннюю полость пузырька. В этом плане представляют интерес обнаруженные нами эпителиальные уплотнения — эпителиальные бляшки.

Принимая во внимание соответствие концентрации катионов в жидкости пузырьков и сыворотке крови, можно думать, что в первой фазе минеральные составляющие поступают в полость пузырька в результате диффузионных процессов, т. к. осмотическое давление в пузырьке соответствует наблюдаемому в крови и тканях организма. В дальнейшем

за счет активной секреции. Роль белка, находящегося. Возможно, этот белок свя эпителия. Кроме того, не замкнута, и слущивающи что может объяснить нал

Давление в полости и ризовано как исходное илляет собой рецепторный и которое действует на пуль нала, отраженного от объекта существующую информацию об об этом процесс может быть в котором *P* — окончательного от объекта встречи; *H* — обусловленное посту встречи.

Давление поступающее в полости пузырька велико ( $P_0 \gg \Delta P$ ), то при это, если же  $P_0$  будет значительное напряжение стенок пузырька, соответствовать закону о сопротивлении (чувствительности) В

$$\text{ме уравнением } E = K \frac{\Delta P}{P_0},$$

Дополнительное ощущение вого [4]. Давление в пузырьке 3200 Па. Если принять уровень меньшим, то это соответствует примерно громкому сигналу. Известно, что поглощение звука меньше, чем в воздухе (согласно —  $3 \cdot 10^{-16} \text{ с}^2/\text{см}$ ). Таким образом, может достигать в помещении (0,002 Па или 40 дБ). Все же дает основание предположить, что давление в полости пузырька, обусловленное от объекта встречи кашалотом, по данным 100 дБ (относительно 1 дБ), если при приеме отраженного сигнала чувствительность системы превышает 100 дБ.

Таким образом, особенности кашалота представляются в циональных и акустических зонах рецепторной.

1. Бергман Л. Ультразвук и его применение. М., 1971.
2. Берзин А. А. Кашалот. М., 1971.
3. Винников Я. А. Органы чувств. М., 1971.
4. Воронцов Д. С., Емченко А. И.

ька составляла 0,5—  
0,8 гласно определению по  
додецилсульфатом нат-  
и методик электрофореза  
иофоретической подвиж-  
твовали высокоподвиж-  
и воротки крови (альбу-  
муминам).  
ия жидкости устрани-  
и вании ее с жирораство-  
и ацетоном или эфиром,  
енялись в соотношении  
чтобы не вызывать де-  
ика. Просветление отме-  
и фазе раствора. На ос-  
птытов можно допустить,  
компонент связан с ли-  
ей и представляет липо-  
омплекс.

седование белкового со-  
тки крови кашалота

оретическое разделение бел-  
ности пузырьков — *a*, *b*; съ-  
крови кашалота — *б*.

и системе 15% полиамидном геле-  
еление в системе 7,4% полиамид-  
геле при pH 8,3.

на долю альбумина при-  
ников сыворотки крови в  
волос. Группа, находя-  
и, содержит пять компо-  
нистостью в полиакрил-  
иодному участку форе-  
ельно меньшей электрол-  
ка приходится на группу  
иулярным весом. Содер-  
минов и преальбуминов)  
ся как 50 к 2000. Следо-  
соответствующих фрак-  
тический градиент, кото-  
ырька на уровне выше

то давление в полости  
льтратом активной секре-  
тилающими внутреннюю  
интерес обнаруженные  
ные бляшки.

нтрации катионов в жид-  
мат, что в первой фазе  
есть пузырька в резуль-  
тате давление в пузырьке  
организма. В дальнейшем

за счет активной секреции жидкости, давление достигает 24 мм рт. ст. Роль белка, находящегося в полости пузырька, пока остается неясной. Возможно, этот белок связан с обменом белковых структур внутреннего эпителия. Кроме того, необходимо учитывать, что полость пузырька замкнута, и слущивающийся эпителий должен подвергаться резорбции, что может объяснить наличие белка в жидкости пузырька.

Давление в полости пузырькового элемента может быть охарактеризовано как исходное или фоновое. Допустим, что пузырек представляет собой рецепторный комплекс, следовательно, звуковое давление, которое действует на пузырек в процессе попадания акустического сигнала, отраженного от объекта встречи, является дополнительным, несущим информацию об особенностях характеристики объекта. Тогда этот процесс может быть охарактеризован уравнением  $P = f(P_0 + \Delta P)$ , в котором  $P$  — окончательное давление после приема сигнала, отраженного от объекта встречи;  $P_0$  — давление исходное, фоновое;  $\Delta P$  — давление, обусловленное поступлением отраженного сигнала от объекта встречи.

Давление поступающего сигнала должно быть соизмеримо с фоновым давлением в пузырьке. Если давление в пузырьке будет слишком велико ( $P_0 \gg \Delta P$ ), то приращение давления сигнала не будет воспринято, если же  $P_0$  будет значительно меньше ( $P_0 \ll \Delta P$ ), то в этом случае напряжение стенок пузырька может оказаться слабым для приема давления полезного сигнала. Отношение поступающего сигнала должно соответствовать закону о силе раздражителя и интенсивности восприятия (чувствительности) Вебера—Фехнера, выраженному в общей формуле уравнением  $E = K \frac{\Delta P}{P_0}$ , где  $E$  — прирост ощущения,  $K$  — коэффициент.

Дополнительное ощущение может быть на 2—3 порядка меньше фонового [4]. Давление в пузырьке ( $P_0$ ) — 24 мм рт. ст. — соответствует 3200 Па. Если принять уровень воспринимаемого сигнала на три порядка меньшим, то это окруженно соответствует 3,2 Па. По звуковому давлению это соответствует сигналу, поступающему в воздушной среде, примерно громкому сигналу автомобильной сирены — 2,0 Па или 100 дБ. Известно, что поглощение звука в водной среде почти на три порядка меньше, чем в воздухе (соответственно  $a_0$  для воздуха —  $2 \cdot 10^{-13}$ ; для воды —  $3 \cdot 10^{-16} \text{ c}^2/\text{см}^2$ ). Таким образом, сигнал, поступающий на пузырьковое поле, может достигать уровня негромкой музыки или шума в жилом помещении (0,002 Па или 40 дБ). Этот приблизительный и грубый расчет все же дает основание предполагать возможность приема сигнала, отраженного от объекта встречи животного. Интенсивность звука, излучаемого кашалотом, по данным ряда авторов [13, 18], соответствует 70—100 дБ (относительно 1 дин/см<sup>2</sup> на 1 ярд). Необходимо учитывать, что если при приеме отраженного сигнала возникает резонансный процесс, чувствительность системы может повыситься еще на несколько порядков.

Таким образом, особенности пузырькового поля и его элементов у кашалота представляются весьма сложными и ряд структурных, функциональных и акустических характеристик дают основание считать эту зону рецепторной.

#### Литература

1. Бергман Л. Ультразвук и его применение в науке и технике. М., 1957. 726 с.
2. Берзин А. А. Кашалот. М., 1971. 366 с.
3. Винников Я. А. Органы чувств.— В кн.: Гистология. М., 1972, с. 278—315.
4. Воронцов Д. С., Ємченко А. І. Фізіологія тварин і людини. К., 1952. 656 с.

5. Козак В. А. Про можливість відеоакустичного сприйняття навколошнього середовища кашалотом.— Фізіол. журн. АН УРСР, 1973, 10, № 2, с. 219—228.
6. Козак В. А. О «відеоакустичній системі» кашалота.— Журн. еволюц. біохим. і фізіол., 1974, 10, № 3, с. 276—281.
7. Козак В. А. Про апарат генерації звуків кашалота.— Фізіол. журн. АН УРСР, 1977, 23, № 1, с. 123—128.
8. Маурер Г. Диск-електрофорез. М. 274 с.
9. Митрофанов П. П. Физическая химия. М., 1965. 238 с.
10. Морозов В. П. Эхолокация китообразных и гипотеза В. А. Козака о звуковидении у кашалота.— Журн. еволюц. біохим. і фізіол., 1976, 12, № 1, с. 68—74.
11. Слепцов М. М. Китообразные дальневосточных морей. Владивосток, 1955, 162 с.
12. Соколов В. Е. Структура кожного покрова некоторых китообразных.— Бюл. Моск. об-ва испыт. природы. Отд. биол. 1955, 60, № 6, с. 45—60.
13. Dunn.— [Цит. по 14].
14. Norris K. S., Garvey A. W. A theory for the function of the spermaceti organ of the sperm whale (*Physeter catodon* L.). Oceanic Institute of Hawaii, 1970, p. 28.
15. Panyim S., Chalkley R. High resolution acrylamide gel electrophoresis of histones.— Arch. Biochem. Biophys., 1969, 130, 337—346.
16. Raven H. C., Gregory W. K. The spermaceti organs and nasal passages of the sperm whale (*Physeter catodon*) and other odontocetes.— Amer. Museum Novitates, 1933, p. 1—18.
17. Schenkkan E. J., Purves P. E. The comparative anatomy of the nasal tract and the function of the spermaceti organ in the Physeteridae (Mammalia, Odontoceti).— Bijdragen Fot de Dierkunde, 1973, 43, 93—112.
18. Whitney, William.— [Цит. по 14].
19. Wood F. A. Jr. Remark in general discussion concerning Dreher J. J., Evans W. E.— In: Marine Bio-acoustic. Ed. Tavolga W. N. Pergamon Press, N. Y., 1964, p. 395—396.

Институт физиологии им. А. А. Богомольца  
АН УССР, Киев; Институт океанологии им. П. П. Ширшова

Поступила в редакцию 8.VII 1977 г.

V. A. Kozak

#### ON VESICLE ELEMENTS OF SPERM-WHALE FRONTAL AIR SAC

##### Summary

The volumetric reconstruction of vesicle formations of the frontal sac posterior wall was conducted by means of hardening materials and X-ray analysis. The histological structure was studied, the biochemical analysis of the liquid filling the inner cavity of vesicles is performed. The pressure in the vesicle cavity is measured. It is shown that the vesicle complex, i. e. a vesicle unit, consists of the system of vesicles out of which the largest one is on the field surface—a chain of several vesicles of the decreasing size moves deep down. The vesicles within the limits of the vesicle unit are united by a single cavity. An elevated pressure in the cavity of the vesicle unit may be a result of the active secretory activity of the inner epithelium lining the cavity. The ionic composition of the liquid from the vesicle cavity corresponds to the ionic composition of blood serum, however the content of the protein fractions differs considerably from the protein composition of blood serum—the amount of protein in the liquid is considerably less than in blood serum and it refers to albumins and prealbumins. Structural peculiarities of the vesicle field and some other data as well as the conducted calculations make it possible to consider it as a matrix which is a receptor zone perceiving acoustic signals reflected from contrary objects.

The A. A. Bogomoletz Institute of Physiology,  
Academy of Sciences, Ukrainian SSR; the P. P. Shirshov  
Institute of Oceanology, Academy of Sciences, USSR

УДК 612.017.018.433.826

## РЕАКЦИЯ НЕЙРОСЕКРЕТОРНЫХ РЕАКТИВИРУЮЩИХ

В связи с многолетними [11, 22], а также применением антисывороток, специфичных для гипофиза, необходимости исследования действия гипофиза известны [1, 2, 7, 12] системы по принципу обработки половых желез, мы сочли необходимым изложить результаты изучения состояния при воздействии гипофизической сыворотки на гипофизарной гормоном обработка гипофиза [9], что приводит к нормализации кетостероидов, их  $\alpha$ - и  $\beta$ -надроптических гормонов [1].

Мы исследовали реакцию ядер, среды (ЗДГ) старых крыс на АТЦС.

Исследования проведены на крысах, иммунизированных к семенникам крыс по экспрессно связыванию комплемента. Он содержит гомогенного раствора АТЦС вводят в вену крысы из расчета 0,0005% и декапитированы на 3; 10; 21 и 30 дней интактные животные.

Гипофиз, гипоталамус и щитовидная железа Буэна. Серийные параллельные фиксации по Гомбовскому состоят из нейросекреторных клеток, ядер и ядрашек. Объем ядрашек—по формуле шара (тк.), которые находятся на разном расстоянии от гомориопозитивных гранул фрагментов аксонов и их расщепления за 5 усл. ед. В среде клеток, волокон гипоталамо-гипофизарных сосудов, а также